

# Leptophlebiidae

Objekttyp: **Chapter**

Zeitschrift: **Mémoires de la Société Vaudoise des Sciences Naturelles**

Band (Jahr): **20 (1999-2006)**

Heft 1

PDF erstellt am: **22.07.2024**

## **Nutzungsbedingungen**

Die ETH-Bibliothek ist Anbieterin der digitalisierten Zeitschriften. Sie besitzt keine Urheberrechte an den Inhalten der Zeitschriften. Die Rechte liegen in der Regel bei den Herausgebern. Die auf der Plattform e-periodica veröffentlichten Dokumente stehen für nicht-kommerzielle Zwecke in Lehre und Forschung sowie für die private Nutzung frei zur Verfügung. Einzelne Dateien oder Ausdrucke aus diesem Angebot können zusammen mit diesen Nutzungsbedingungen und den korrekten Herkunftsbezeichnungen weitergegeben werden. Das Veröffentlichen von Bildern in Print- und Online-Publikationen ist nur mit vorheriger Genehmigung der Rechteinhaber erlaubt. Die systematische Speicherung von Teilen des elektronischen Angebots auf anderen Servern bedarf ebenfalls des schriftlichen Einverständnisses der Rechteinhaber.

## **Haftungsausschluss**

Alle Angaben erfolgen ohne Gewähr für Vollständigkeit oder Richtigkeit. Es wird keine Haftung übernommen für Schäden durch die Verwendung von Informationen aus diesem Online-Angebot oder durch das Fehlen von Informationen. Dies gilt auch für Inhalte Dritter, die über dieses Angebot zugänglich sind.

Notre espèce se distingue de toutes les autres espèces connues, principalement:

- par la forme des griffes tarsales, le nombre de leur denticules et la disposition de ces derniers;
- par la forme des fémurs antérieurs, ainsi que la taille et la disposition des éperons sur leur face dorsale;
- par la forme, la couleur et la pilosité des opercules;
- et par la forme des lobes péniens.

#### LEPTOPHLEBIIDAE

### *Hagenulopsis guadeloupensis* Hofmann et Peters, n. sp.

#### *Larve*

- *Taille:*

Longueur maximale (tête et corps): 6.2 mm; filaments caudaux: 13 mm.

- *Coloration générale:*

Brun-jaune.

- *Tête:*

Prognathe, de couleur brun-jaune, avec quelques taches plus claires sur le vertex, et une coloration jaune-orangée en avant de l'ocelle médian; antennes blanc jaunâtre, longues de 3.0 mm.

Marge antérieure du labre (fig. 181) largement échancrée, de forme très variable (fig. 181a), mais généralement avec 2 grandes dents et 3 plus petites intercalées; face dorsale avec quelques longues soies, et deux rangs -approximativement de même longueur- de soies moyennes contiguës: l'un transversal subrectiligne, l'autre sous-marginal; 15-20 soies sur les marges latérales, ventralement.

Mandibule droite (fig. 182) avec incisives réparties en deux lobes de 3+2 dents, quelques petites dents auxiliaires sur les deux groupes; prosthéca réduite à une dizaine de soies, les plus longues, légèrement plumeuses, dirigées vers la région molaire; plusieurs soies assez fortes sur la marge interne près de la région molaire et sur la marge externe proximale, ainsi que sur la face dorsale. Mandibule gauche (fig. 183) avec incisives réparties en deux lobes de 3+3 dents, quelques petites dents auxiliaires sur les deux groupes; prosthéca avec une pointe bifide et une vingtaine de soies légèrement plumeuses, dirigées vers la région molaire; plusieurs soies assez fortes sur la marge externe proximale, ainsi que sur la face dorsale.

Maxilles massives (fig. 185); galea-lacinia avec de très nombreuses longues soies fines sur la marge apicale, ainsi que deux rangées sous-marginales de 13-15 et de 5-7 soies pectinées à l'apex; angle antérieur interne de la galea-lacinia caractérisé par un «V» retourné avec une forte soie pectinée à son sommet; une rangée de longues soies fines serrées sur la marge interne de la galea-lacinia; palpe maxillaire formé de 4 articles; article 1 réduit; article 3 environ 1.4x la longueur de l'article 2, avec 5-7 soies sur la face interne; articles 2 et 3 avec de fines soies éparses; article 4 pointu, court, environ 0.4x la longueur de l'article 3, couvert de très nombreuses longues soies fines.

Hypopharynx (fig. 184) avec lobe médian profondément échancré et deux lobes latéraux allongés, marges antérieures des lobes latéraux couvertes de nombreuses longues soies n'atteignant pas l'apex.

Labium (fig. 186) avec glosses réduites, couvertes de fortes soies spatulées; paraglosses très développées, portant de nombreuses soies marginales et apicales; palpes labiaux composés de 3 articles; article 1 robuste, moins de 2x plus long que large, portant de fortes soies incurvées: 12-14 sur la marge externe et 8-10 plus courtes sur la marge interne; article 2 un peu plus long et nettement plus mince que l'article 1, avec 3-5 soies courtes et fortes dans la partie proximale, côté dorsal, et quelques longues soies fines marginales; article 3 pointu, environ 0.4x la longueur de l'article 2, avec 4-5 fortes soies médianes sur la face dorsale, 5-7 petites soies sur la marge interne, et de nombreuses longues soies fines sur la face ventrale.

• *Thorax:*

Pronotum et mésonotum brun-jaune, avec des dessins noirs d'intensité et de forme variables.

Pattes de couleur générale jaune.

Fémurs antérieurs (fig. 187) généralement teintés de brun noirâtre dans la partie apicale, souvent entièrement brun noirâtre, avec 25-27 longs éperons sur la marge externe, 11-13 très petits éperons sur la marge interne, et quelques autres épars sur la face dorsale; tibias antérieurs avec quelques soies fines sur la marge externe et de très nombreux (>50) éperons serrés sur la marge interne; région apicale des tibias souvent teintée de brun noirâtre; tarses antérieurs avec 15-17 petits éperons sur la marge interne; griffes tarsales antérieures (fig. 188) avec 11-13 denticules décroissants de l'apex à la base; denticule apical nettement plus gros que les autres. Fémurs postérieurs (fig. 189) généralement teintés de brun noirâtre dans la partie apicale, quelquefois entièrement de cette couleur, avec 18-20 éperons sur la marge externe, 14-16 très petits éperons sur la marge interne, et quelques autres épars sur la face dorsale; tibias postérieurs avec 6-18 (en moyenne 12 sur 12 spécimens examinés) éperons sur la marge externe, 8-10 sur la marge interne, plusieurs éperons dans la moitié distale, et de nombreuses soies fines tout particulièrement sur la marge externe; partie apicale des tibias souvent teintée de brun noirâtre; tarses postérieurs avec de nombreuses soies fines sur la marge externe, et 6-9 (en moyenne 7,5 sur 12 spécimens examinés) éperons forts et courts sur la marge interne; griffes tarsales postérieures comme les antérieures, mais avec 15-17 denticules.

• *Abdomen:*

Brun, sans dessin particulier, à l'exception de 2 taches parasagittales blanchâtres près du bord antérieur des tergites et encadrant une ligne claire sagittale, régressant vers l'arrière de l'abdomen; face ventrale plus claire; prolongements latéro-postérieurs réduits sur les segments V-VI, puis fortement croissants jusqu'au segment IX.

Tergites (fig. 190) sans dents sur leur marge postérieure, avec quelques soies fines éparses sur la surface.

Branchies présentes sur les segments abdominaux I-VII, subidentiques, longues, fines et profondément bifides (fig. 191).

Filaments caudaux brun-jaune.

*Imago mâle*• *Taille:*

Longueur maximale (tête et corps): 6.0 mm; aile antérieure: 5.3 mm; ailes postérieures absentes.

• *Coloration générale:*

Brun foncé.

• *Tête:*

Entièrement brun foncé; yeux en turban séparés par une distance équivalant au diamètre des ocelles latéraux, noirs dans leur partie supérieure, brun foncé à leur base, de forme subcirculaire (figs 192, 193); antennes brun foncé, longues de 0.8 mm, soit légèrement plus courtes que la largeur de la capsule céphalique.

• *Thorax:*

Pronotum brun foncé.

Mésonotum et métanotum brun foncé, y compris sur la face ventrale.

Ailes antérieures (fig. 194) hyalines, légèrement fumées dans l'aire ptérostigmatique, les nervures longitudinales et transversales brun foncé; 9-12 nervures transverses dans l'aire ptérostigmatique.

Pattes antérieures et postérieures globalement foncées, surtout au niveau des fémurs, pattes médianes plus claires; griffe tarsale des pattes antérieures: fig. 195.

• *Abdomen:*

Entièrement brun foncé, y compris sur la face ventrale, sans dessin particulier.

Genitalia (fig. 196) avec marge interne de l'article 1 des gonopodes présentant une forte saillie aux 2/3 distaux, et de nombreuses fortes soies, tout particulièrement abondantes sur cette saillie; article 1 brun foncé à la base, plus clair à l'apex; articles 2 et 3 clairs et faiblement développés, légèrement allongés; lobes pénien parallèles, amincis vers l'apex, séparés par une profonde échancrure; 1 dent aiguë sur la marge interne de chaque lobe, dans la partie distale de l'échancrure; lobes pénien clairs.

Filaments caudaux brun foncé.

*Imago femelle*

Comme l'imago mâle sauf:

• *Taille:*

Longueur maximale: 5.1 mm; aile antérieure: 5.3 mm; pas d'aile postérieure.

• *Tête:*

Yeux en turban absents; yeux séparés par environ 4x leur largeur; ocelles légèrement plus petits que chez le mâle.

• *Thorax:*

Ailes antérieures légèrement plus larges que chez le mâle; 16-18 nervures transverses dans l'aire ptérostigmatique.

Griffe tarsale des pattes antérieures: fig. 197.

• *Abdomen:*

Sternite IX profondément échancré (fig. 198).

Genitalia (fig. 199): en vue de profil, ovipositeur dépassant largement la marge postérieure du tergite X, de forme pointue régulière, sans structure particulière à l'apex.

Œufs (fig. 216) allongés (longueur/largeur = 2.1), sans capsule polaire, à structure chorionique poreuse, KCT («knob-terminated coiled thread» d'après KOSS and EDMUNDS 1974) en forme d'engrenages régulièrement disposés sur des lignes dans le sens de la longueur; micropyle perpendiculaire au chorion, situé au centre d'une structure comparable aux KCT (fig. 217).

### Matériel examiné

#### Holotype:

1 imago ♂, Basse Terre, Rivière Saint-Louis, Grand Matouba (station 19, 3), 16-III-1997, filet, C. Hofmann.

#### Paratypes:

- 1 larve ♂, Basse Terre, Ravine de la Citerne, près de la Grande Chute du Galion (station 17, 6), 21-II-1997, C. Hofmann.  
 1 larve ♂ et 1 larve ♀, Basse Terre, Ravine de la Citerne, près de la Grande Chute du Galion (station 17, 6), 21-II-1997, C. Hofmann.  
 1 larve ♂ et 1 larve ♀, Basse Terre, Ravine de la Citerne, près de la Grande Chute du Galion (station 17, 6), 21-II-1997, C. Hofmann (CESAC).  
 1 larve ♂ et 1 larve ♀, Basse Terre, Ravine de la Citerne, près de la Grande Chute du Galion (station 17, 6), 21-II-1997, C. Hofmann (A&M).  
 2 larves ♂ et 6 larves ♀, Basse Terre, Ravine Séguine, Savane aux Ananas (station 9, 4), 21-I-1997, C. Hofmann.  
 1 subimago ♂, Basse Terre, Rivière Saint-Louis, Grand Matouba (station 19, 3), 18-X-1997, PL soir, C. Hofmann.  
 1 subimago ♂, Basse Terre, Rivière Saint-Louis, Grand Matouba (station 19, 3), 15-X-1997, PL soir, C. Hofmann (A&M).  
 1 imago ♂, Basse Terre, Rivière Saint-Louis, Grand Matouba (station 19, 3), 16-III-1997, filet, C. Hofmann.  
 1 imago ♂, Basse Terre, Rivière Saint-Louis, Grand Matouba (station 19, 3), 16-III-1997, filet, C. Hofmann (CESAC).  
 1 imago ♂, Basse Terre, Rivière Saint-Louis, Grand Matouba (station 19, 3), 16-III-1997, filet, C. Hofmann (A&M).  
 2 imagos ♂, 1 imago ♀, 1 subimago ♀, Basse Terre, Rivière Petit David Premier Bras, aire de pique-nique (station 1, 10), 23-X-1997, PL soir et élevages, C. Hofmann (A&M).  
 6 subimagos ♀, Basse Terre, Rivière Petit David Premier Bras, aire de pique-nique (station 1, 10), 13-IX-1997, PL soir, C. Hofmann.  
 2 imagos ♀, Basse Terre, Rivière Petit David Premier Bras, aire de pique-nique (station 1, 10), 23-X-1997, PL soir et élevages, C. Hofmann.

#### Autres:

L = larve(s), S = subimago(s), I = imago(s), PL = Piège lumineux.

#### C. Hofmann coll.:

**1, 3:** 16.1.97, 1-4 L ♂, 1-4 L ♀; **1, 5:** 12.3.97, 1-4 L ♀; **1, 7:** 2.2.97, 1-4 L ♂, 1-4 L ♀; **1, 8:** 25.3.97, 5-10 L ♂, 1-4 L ♀; **1, 9:** 26.3.97, 5-10 L ♂, 5-10 L ♀; **1, 10:** 22.10.96, 1-4 L; 22.10.96, PL soir, 1 S ♂, 1 S ♀; 29.1.97, >10 L ♂, >10 L ♀; 3.9.97, 1-4 L ♂, 1-4 L ♀; 13.9.97, PL soir, 8 S ♂, 5-10 S ♀; 14.10.97, PL soir, 2 S ♀; 23.10.97, PL soir, 2 S ♂, 3 I ♂, 3 I ♀; **1, 11:** 12.3.97, 1-4 L ♂, 1-4 L ♀; **1, 12:** 11.9.97, 1-4 L ♂; **1, 13:** 12.3.97, 1-4 L ♂; **1, 14:** 6.3.97, >10 L ♂, >10 L ♀; **1, 15:** 6.3.97, 5-10 L ♂, 5-10 L ♀; **1, 16:** 6.3.97, 1-4 L ♂, 1-4 L ♀; **1, 17:** 26.3.97, 1-4 L ♂, 1-4 L ♀; **3, 4:** 19.9.97, >10 L ♂, >10 L ♀; **3, 5:** 19.9.97, 1-4 L ♀; **7, 2:** 30.1.97, 1-4 L ♂; **7, 5:** 21.3.97, >10 L ♂, >10 L ♀; 3.11.97, 5-10 L ♂, 5-10 L ♀; 3.11.97, PL soir, 2 S ♂; **7, 6:** 21.3.97, 1-4 L ♂, 1-4 L ♀; 5.10.97, >10 L ♂, >10 L ♀; **9, 1:**

6.2.97, 1-4 L ♂; **9, 2**: 22.2.97, 1-4 L ♂, 5-10 L ♀; **9, 3**: 28.2.97, 1-4 L ♂, 1-4 L ♀; **9, 4**: 21.1.97, >10 L ♂, >10 L ♀; 21.1.97, filet, 1 I ♂; **10, 3**: 14.3.97, 1-4 L ♂, 1-4 L ♀; **10, 4**: 5.3.97, 1-4 L ♀; **10, 6**: 18.9.97, 1-4 L ♂, 1-4 L ♀; **17, 5**: 19.1.97, 1-4 L ♂, 1-4 L ♀; **17, 6**: 21.2.97, 1-4 L ♂, 1-4 L ♀; 24.9.97, 1-4 L ♂, 1-4 L ♀; **17, 7**: 21.2.97, 5-10 L ♂, >10 L ♀; 24.9.97, 5-10 L ♂, 5-10 L ♀; **19, 2**: 13.1.97, 1-4 L ♀; 13.1.97, filet, 1 I ♂; **19, 3**: 28.1.97, 5-10 L ♂, 1-4 L ♀; 28.1.97, filet, 2 I ♂; 16.3.97, filet, >10 I ♂; 11.10.97, >10 L ♂, 1-4 L ♀; 18.10.97, PL soir, 1 S ♂; **19, 5**: 21.1.97, >10 L ♂, >10 L ♀; **19, 6**: 21.1.97, 1-4 L ♂, 1-4 L ♀; 11.10.97, 5-10 L ♂, 1-4 L ♀; **20, 1**: 24.2.95, >10 L; **20, 2**: 24.2.95, 1-4 L; **22, 2**: 2.3.97, >10 L ♂, 5-10 L ♀; 2.3.97, filet, 1 I ♂; 4.10.97, 1-4 L ♂, 1-4 L ♀; **23, 2**: 28.9.97, 1-4 L ♂, 1-4 L ♀; **23, 3**: 28.9.97, 1-4 L ♀; **26, 1**: 23.2.97, 1-4 L ♀; **26, 2**: 24.2.97, 1-4 L ♀; **26, 3**: 7.3.97, 1-4 L ♂; **26, 4**: 23.2.97, >10 L ♂, >10 L ♀; **26, 5**: 7.3.97, 1-4 L ♂, 1-4 L ♀; **26, 6**: 23.2.97, >10 L ♂, 5-10 L ♀; **29, 3**: 1.3.97, >10 L ♂, 5-10 L ♀; 13.9.97, >10 L ♂, 5-10 L ♀; **30, 2**: 29.9.97, 1-4 L ♂, 1-4 L ♀; **30, 4**: 29.9.97, 1-4 L ♂; **40, 2**: 30.3.97, 1-4 L ♂, 1-4 L ♀; **45, 2**: 11.3.97, 1-4 L ♂, 1-4 L ♀; 23.10.97, 1-4 L ♀; **45, 3**: 5.2.97, 5-10 L ♂, 5-10 L ♀; **45, 4**: 20.3.97, >10 L ♂, >10 L ♀; 23.10.97, >10 L ♂, >10 L ♀; 23.10.97, filet, 4 I ♂.

#### CESAC coll.:

6 L, **Basse Terre**, Rivière Deshaies, Bourg, 16-III-1995, C. Dauta et J. Gagneur (CESAC); 3 L, **Basse Terre**, Rivière Lostau, Soldat, 16-III-1995, C. Dauta et J. Gagneur (CESAC)

#### Distribution

Guadeloupe: île de la Basse Terre. Il existe des espèces proches en Dominique, en Martinique et à Sainte-Lucie (PETERS 1971).

#### Biologie

Espèce plurivoltine commune en Guadeloupe, se trouvant en eau courante, dans 14 des 17 bassins versants visités de la Basse Terre. Les stations où cette espèce est présente se situent entre 15 et 1100 m d'altitude et appartiennent à des Stream Order 1 et 2 (exceptionnellement 3). L'espèce a une activité imaginaire diurne pour les mâles, qui sont attirés par les objets clairs. Les pièges lumineux ne présentent que peu d'attractivité pour les imagos des deux sexes. Les subimagos émergent au crépuscule.

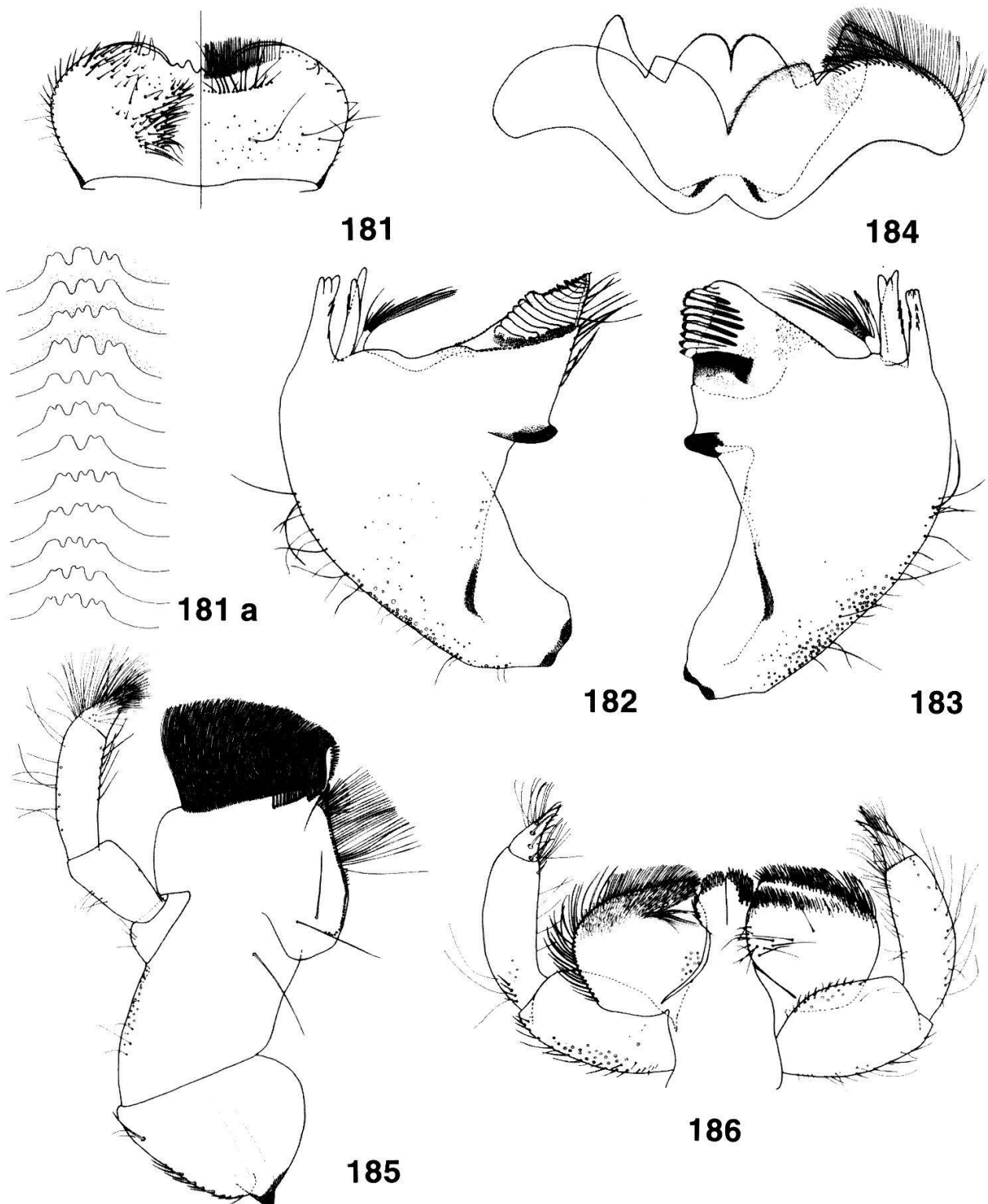
#### Etymologie

Cette espèce est vraisemblablement endémique à la Guadeloupe. C'est la raison pour laquelle nous avons choisi de lui donner le nom de cette île.

#### Discussion

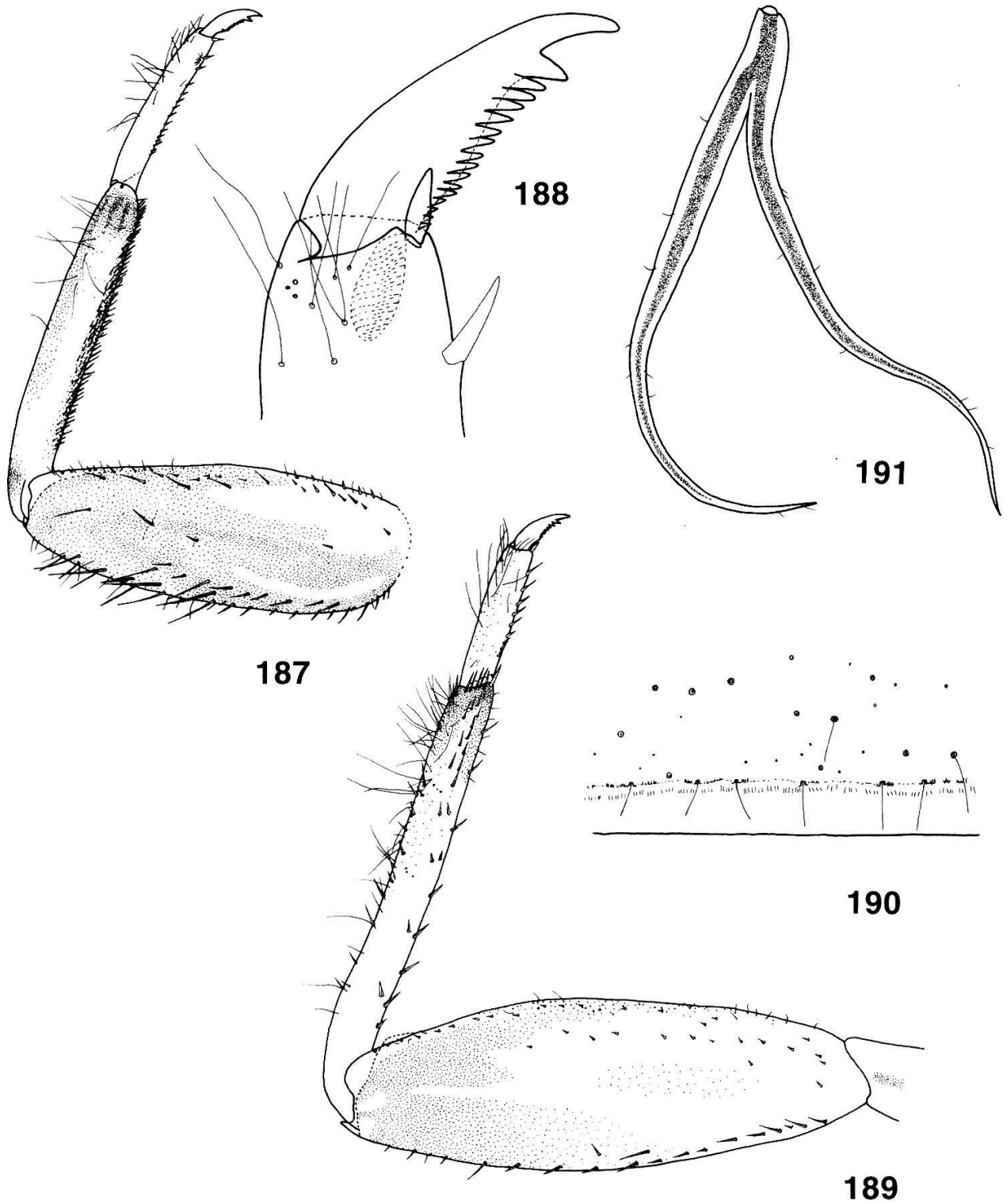
Le genre *Borinquena* a été érigé par Traver en 1938 sur la base de spécimens récoltés à Puerto Rico. Plus tard, PETERS (1971) décrit un nouveau sous-genre *Australphlebia* pour la Dominique. Ce dernier se distingue par les caractéristiques suivantes, chez les larves:

- marge antérieure du labre avec 2 grandes dents, et 1-3 petites dents intercalaires de tailles variables;
- denticules de taille croissante vers l'apex sur les griffes tarsales, à l'exception du denticule apical qui est beaucoup plus large;
- prolongements latéraux des segments abdominaux VI ou VII-IX en forme d'épine;
- branchies 1-7 subidentiques, profondément bifides;



Figures 181-186.—*Hagenulopsis guadeloupensis* Hofmann and Peters, n. sp.  
 181.—Labrum (left: ventral; right: dorsal). 181a.—Anteromedian emarginations of labrum. 182.—Left mandible. 183.—Right mandible. 184.—Hypopharynx. 185.—Maxilla. 186.—Labium (left: dorsal; right: ventral).

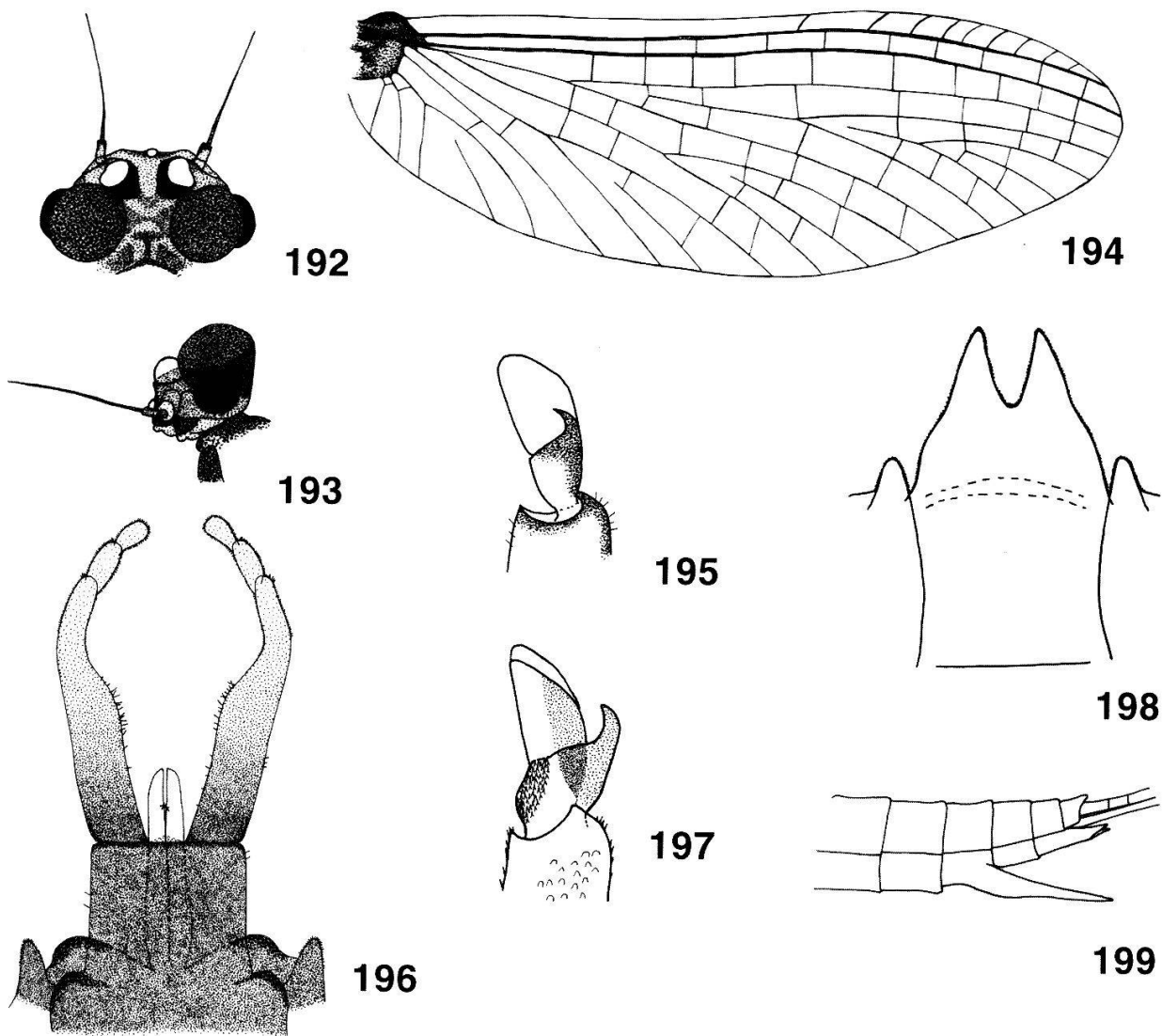
Figures 181-186.—*Hagenulopsis guadeloupensis* Hofmann et Peters, n. sp.  
 181.—Labre (gauche: face ventrale; droite: face dorsale). 181a.—Marges antérieures du labre. 182.—Mandibule gauche. 183.—Mandibule droite. 184.—Hypopharynx. 185.—Maxille. 186.—Labium (gauche: face dorsale; droite: face ventrale).



Figures 187-191.—*Hagenulopsis guadeloupensis* Hofmann and Peters, n. sp.  
 187.—Left foreleg. 188.—Fore tarsal claw. 189.—Left hind leg. 190.—Tergum VI (detail).  
 191.—Gill.

Figures 187-191.—*Hagenulopsis guadeloupensis* Hofmann et Peters, n. sp.  
 187.—Patte avant gauche. 188.—Griffe tarsale antérieure. 189.—Patte arrière gauche.  
 190.—Détail du tergite VI. 191.—Branchie.



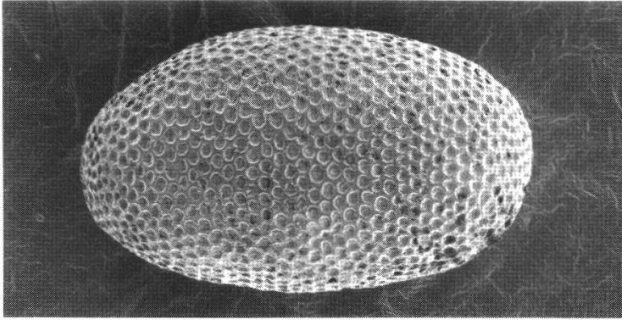


Figures 192-199.—*Hagenulopsis guadeloupensis* Hofmann and Peters, n. sp.  
 192.—Male head (dorsal). 193.—Male head (lateral). 194.—Fore wing of male imago.  
 195.—Fore tarsal claw of male imago. 196.—Male genitalia. 197.—Fore tarsal claw of  
 female imago. 198.—Sternum 9 of female imago. 199.—Ovipositor of female imago  
 (lateral).

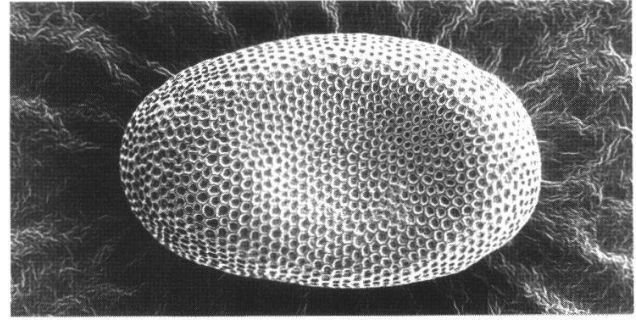
Figures 192-199.—*Hagenulopsis guadeloupensis* Hofmann et Peters, n. sp.  
 192.—Tête de l'imago mâle (vue dorsale). 193.—Tête de l'imago mâle (vue latérale).  
 194.—Aile antérieure de l'imago mâle. 195.—Griffe tarsale antérieure de l'imago mâle.  
 196.—Génitalia de l'imago mâle. 197.—Griffe tarsale antérieure de l'imago femelle.  
 198.—Sternite 9 de l'imago femelle. 199.—Ovipositeur de l'imago femelle (vue latérale).

et chez les imagos:

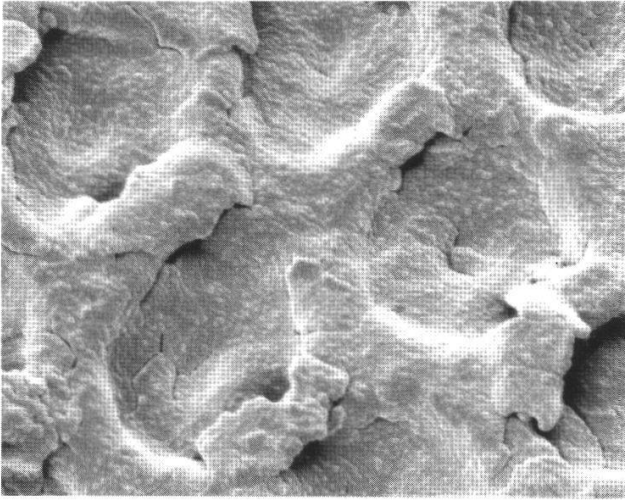
- absence d'ailes postérieures;
- sur les ailes antérieures, la base de ICu1 rejoint CuA;
- chez les imagos mâles, lobes péniens tubulaires, séparés par une profonde échancrure, et portant chacun une dent aiguë dans leur partie disto-ventrale;
- chez les imagos mâles, longueur du styligère le long de la ligne médiane comprise entre le tiers et la moitié de sa largeur maximale;
- chez les imagos femelles, ovipositeur bien développé, allant jusqu'à la marge postérieure du 10<sup>e</sup> segment abdominal, mais ne la dépassant pas.



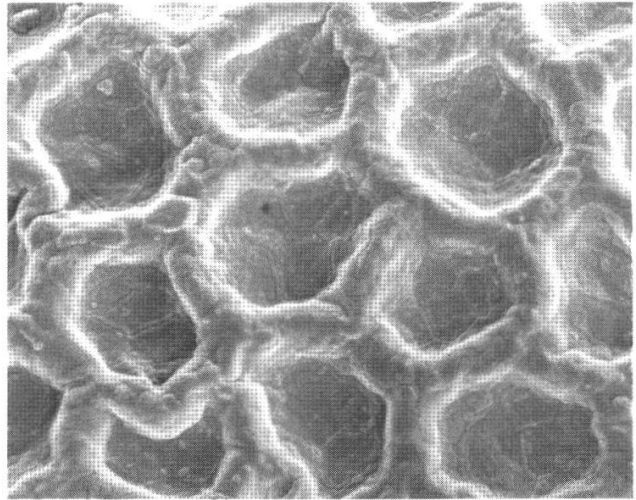
200



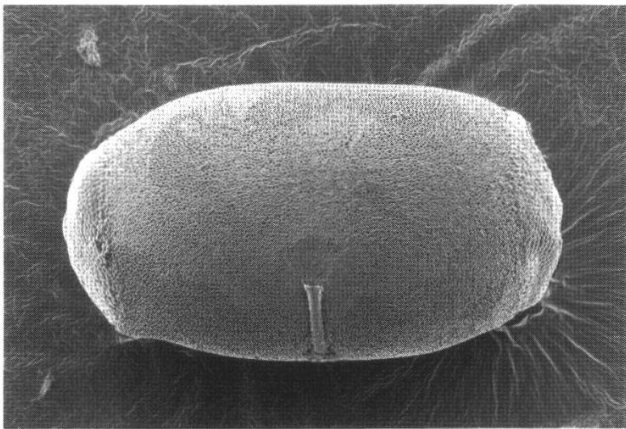
202



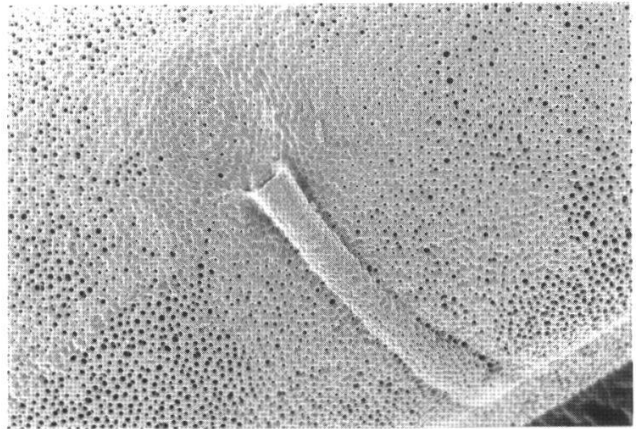
201



203



204



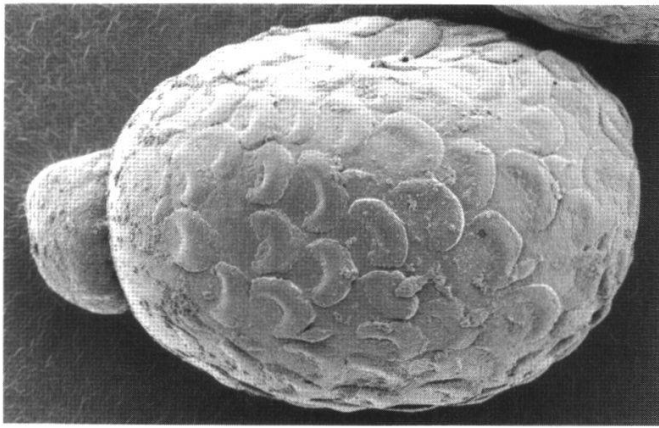
205

Figures 200-201.—*Americabaetis spinosus* Hofmann and Thomas, n. sp.; Figures 202-203.—*Americabaetis humilis* Hofmann and Thomas, n. sp.; Figures 204-205.—*Caenis femina* Hofmann and Sartori, n. sp.

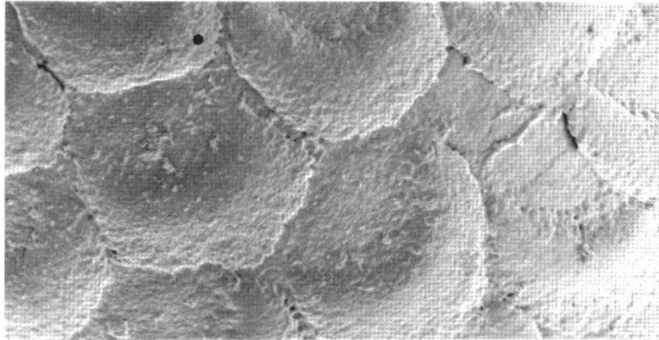
200.—General outline of egg. 201.—Chorion (detail). 202.—General outline of egg. 203.—Chorion (detail). 204.—General outline of egg. 205.—Micropyle.

Figures 200-201.—*Americabaetis spinosus* Hofmann et Thomas, n. sp.; Figures 202-203.—*Americabaetis humilis* Hofmann et Thomas, n. sp.; Figures 204-205.—*Caenis femina* Hofmann et Sartori, n. sp.

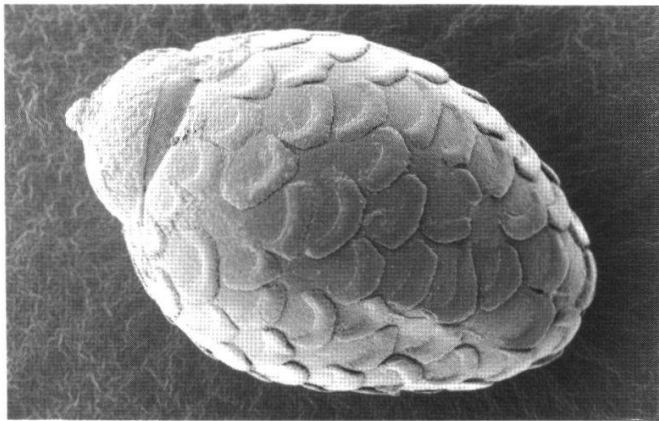
200.—Œuf entier. 201.—Détail du chorion. 202.—Œuf entier. 203.—Détail du chorion. 204.—Œuf entier. 205.—Micropyle.



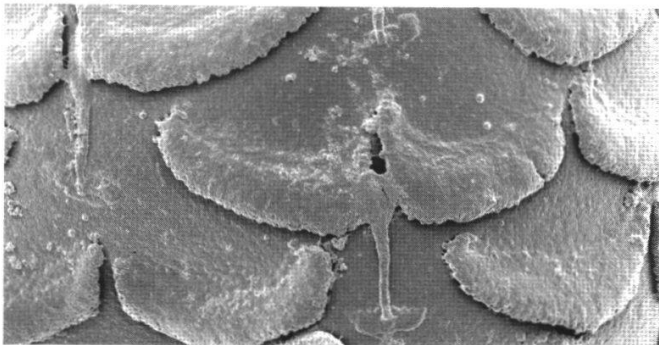
206



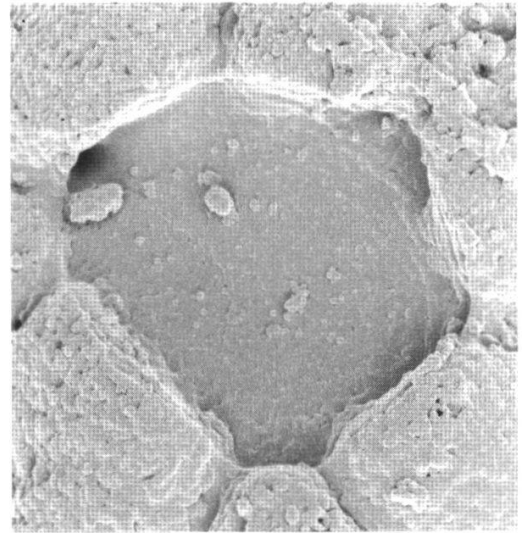
207



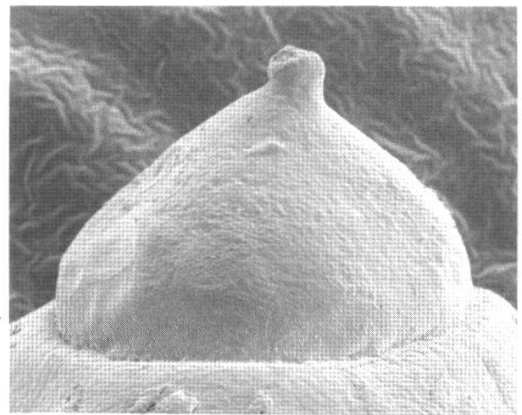
209



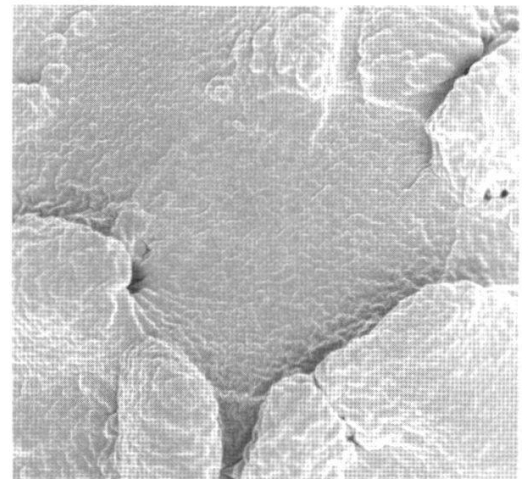
210



208



211



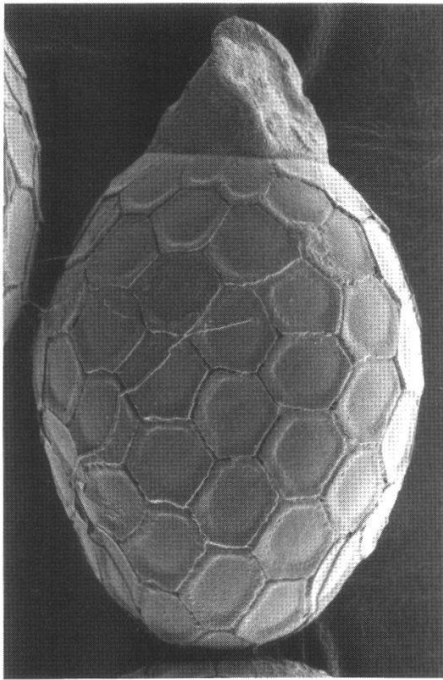
212

Figures 206-208.—*Leptohyphes guadeloupensis* Hofmann and Sartori, n. sp.; Figures 209-212.—*Allenhyphes flinti* (Allen, 1973) comb. nov.

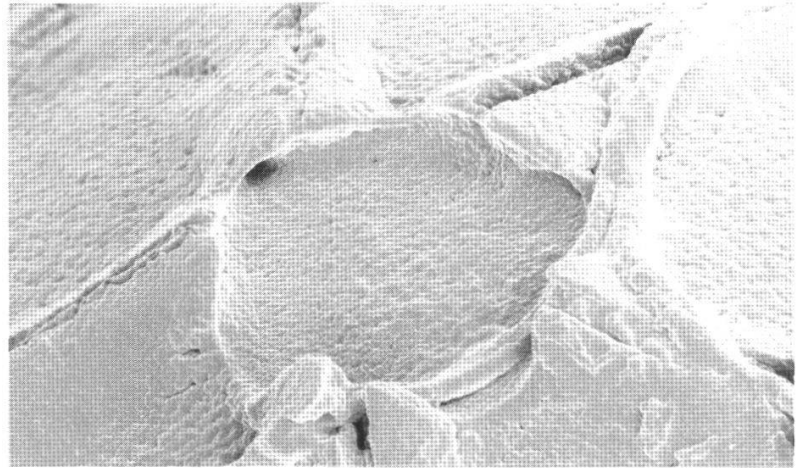
206.—General outline of egg. 207.—Chorion (detail). 208.—Micropyle. 209.—General outline of egg. 210.—Chorion (detail). 211.—Polar cap. 212.—Micropyle.

Figures 206-208.—*Leptohyphes guadeloupensis* Hofmann et Sartori, n. sp.; Figures 209-212.—*Allenhyphes flinti* (Allen, 1973) comb. nov.

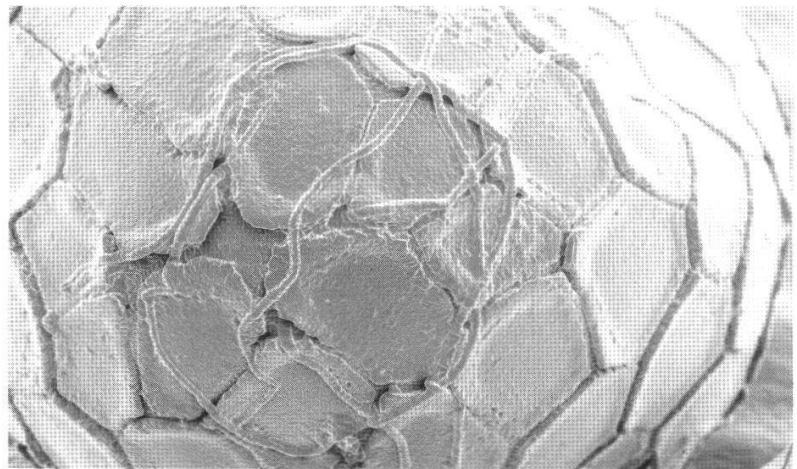
206.—Œuf entier. 207.—Détail du chorion. 208.—Micropyle. 209.—Œuf entier. 210.—Détail du chorion. 211.—Capsule polaire. 212.—Micropyle.



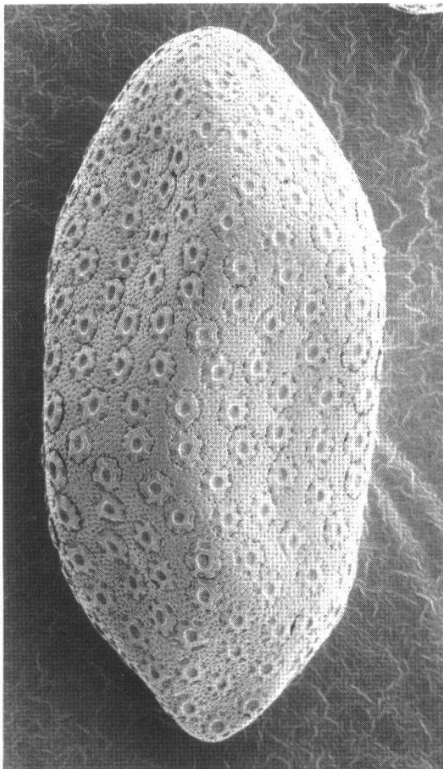
213



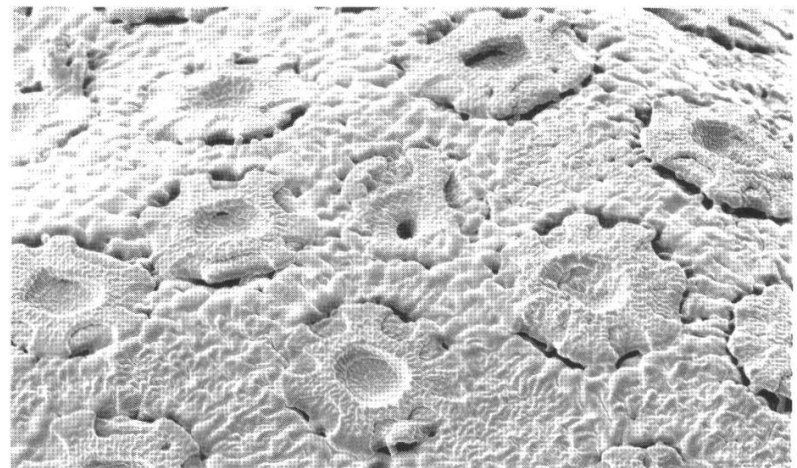
214



215



216



217

Figures 213-215.—*Tricorythodes griseus* Hofmann and Sartori, n. sp.; Figures 216-217.—*Hagenulopsis guadeloupensis* Hofmann and Peters, n. sp.

213.—General outline of egg. 214.—Micropyle. 215.—Non-coiled lateral attachment threads. 216.—General outline of egg. 217.—Chorion (detail) and micropyle.

Figures 213-215.—*Tricorythodes griseus* Hofmann et Sartori, n. sp.; Figures 216-217.—*Hagenulopsis guadeloupensis* Hofmann et Peters, n. sp.

213.—Œuf entier. 214.—Micropyle. 215.—Fils d'attache non enroulés. 216.—Œuf entier. 217.—Détail du chorion et micropyle.

Récemment, le sous-genre *Australphlebia* a été mis en synonymie (PETERS and DOMINGUEZ in press) avec le genre *Hagenulopsis*, ce dernier ayant été érigé par Ulmer en 1920 sur la base de spécimens récoltés au Brésil. En fonction des critères susmentionnés, on peut attribuer l'espèce guadeloupéenne au genre *Hagenulopsis*.

En fait, notre espèce est extrêmement proche de celle décrite pour la Dominique sous le nom de *Borinquena (Australphlebia) traversae* Peters, 1971 (*Hagenulopsis traversae* (Peters, 1971) comb. nov.) En effet, après comparaison avec le TYPE de cette dernière, aucune différence morphologique notable n'a été trouvée à l'état larvaire. Seules la coloration et la forme des taches sur les pattes, ainsi que la coloration de l'abdomen, du sternum, et des futurs yeux en turban diffèrent. Pour l'état adulte, les différences plus marquées sont résumées dans le tableau 4.

Tableau 4.—Différences entre *H. traversae* et *H. guadeloupensis*, à l'état adulte.

<i>Hagenulopsis traversae</i> (Peters, 1971)	<i>Hagenulopsis guadeloupensis</i> Hofmann & Peters, n. sp.
—yeux en turban rouges chez les mâles,	—yeux en turban noirs chez les mâles,
—ailes relativement longues chez les mâles: longueur de l'aile/longueur du corps = 0.97,	—ailes relativement courtes chez les mâles: longueur de l'aile/longueur du corps = 0.88,
—nervation alaire moyennement dense (nervures transverses moyennement nombreuses),	—nervation alaire extrêmement réduite (nervures transverses peu nombreuses),
—nervation alaire brun clair,	—nervation alaire brun foncé, presque noire,
—coloration générale relativement claire.	—coloration générale entièrement foncée.

Il est hautement probable que ces deux espèces, ainsi que les espèces proches qui se trouvent en Martinique et à Sainte-Lucie, soient apparues très récemment, par l'isolement de populations issues d'une même espèce ancestrale.